

**Research Paper**

The Turbulence Model in the Spacecraft by using A Moving Pulsed Ball Model

M. Navabi^{1*}, and A. Ebrahimi²

1, 2. Faculty of New Technologies Engineering, Shahid Beheshti University, Tehran, Iran.

***m_navabi@sbu.ac.ir**

Turbulence in the spacecraft tanks has undesirable effects during maneuvers. Therefore, considering the importance of the correct orbit maneuver to reach the target orbit, it is necessary to model and select a proper method to control it before performing the orbital maneuvers. In this paper, by using a new method for modeling turbulence in reservoirs and for the first time, spacecraft attitude control and turbulence control are simulated using this model. Fuel turbulence is modeled using a moving pulsed ball model, and the whole system's dynamic equations are derived using Krishehoff equations. The maneuver of the spacecraft and the motion of the moving pulsed ball is considered in the plane; therefore, the spacecraft and pulsed ball system will have four degrees of freedom. simulation results show successful modeling and simultaneous control of turbulence and situation

Keywords: Turbulence modeling, Moving pulsed ball, Turbulence control, State control, Dynamics, Combined turbulence and spacecraft

1. Associate Professor (Corresponding Author)
2. M. Sc.

مقاله علمی- پژوهشی

مدل‌سازی تلاطم در فضای پالسی متحرک با استفاده از مدل توپ

محمد نوابی^{۱*} و احمد ابراهیمی^۲

۱ و ۲- دانشکده فناوری‌های نوین، دانشگاه شهید بهشتی، تهران ایران

*m_navabi@sbu.ac.ir

تلاطم در مخازن فضایپما در حین انجام مانور مداری اثرات نامطابقی دارد. بنابراین با توجه اهمیت مانور مداری صحیح برای رسیدن به مدار هدف، باید قبل از انجام مانورهای مداری تلاطم مدل‌سازی و روشنی مناسبی برای کنترل آن انتخاب شود. در این مقاله با استفاده از یک روش جدید به مدل‌سازی تلاطم در مخازن پرداخته و همچنین برای اولین بار کنترل وضعیت فضایپما و کنترل تلاطم به طور همزمان با استفاده از این مدل شبیه‌سازی شده است. تلاطم سوخت با استفاده از مدل توپ پالسی مدل‌سازی و معادلات دینامیکی کل سیستم با استفاده از معادلات کرشهف استخراج شده است. مانور فضایپما و حرکت توپ پالسی در صفحه درنظر گرفته شده و در نتیجه سیستم فضایپما و توپ پالسی دارای درجه آزادی خواهد شد. نتایج شبیه‌سازی نشان دهنده موققت آمیز بودن مدل‌سازی ارائه شده و کنترل همزمان تلاطم و وضعیت می‌باشد.

واژه‌های کلیدی: مدل‌سازی تلاطم، توپ پالسی، کنترل وضعیت، دینامیک ترکیب شده تلاطم و فضایپما.

مدارهای با ارتفاع بالاست که نشان دهنده اهمیت انجام صحیح مانور مداری است. مانور مداری به انتقال فضایپما از مدار اولیه به مدار نهایی گفته می‌شود و برای انجام صحیح این امر باید فضایپما در زمان و وضعیت از پیش تعیین شده، در مدار نهایی قرار گیرد. وضعیت فضایپما در حین انجام مانور مداری تحت تأثیر عوامل مختلفی دستخوش تغییرات شده و این باعث خارج شدن فضایپما از حالت مطلوب می‌شود. بنابراین، کنترل وضعیت [۱ و ۲] یکی از اساسی ترین مسائل در انجام این قبیل مأموریت‌های فضایی است که البته کنترل وضعیت خود به دو بخش مدل‌سازی [۳-۵] و طراحی کنترلر [۶ و ۷] تقسیم بندی می‌شود. یکی از مهمترین عوامل تأثیر گذار در وضعیت فضایپما تلاطم سوخت موجود در مخزن فضایپما می‌باشد. این سوخت که درصد آن نسبت به جرم کل فضایپما درصد قابل توجهی است، با هدف تولید نیروی تراست برای انجام مانور مداری در فضایپما تعییه شده است. به عنوان مثال، ۴۰ درصد از جرم ماهواره‌های زمین آهنگ به سوخت اختصاص دارد [۸]. درنتیجه اگر این میزان سوخت تحت تأثیر شتاب دورانی یا محوری دچار تلاطم شود، به راحتی می‌تواند وضعیت فضایپما را از

علائم و اختصارات

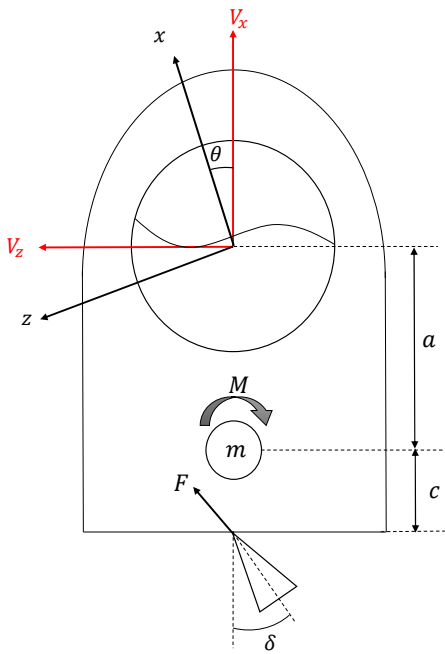
L	لاگرانژین
ζ	بردار موقعیت زاویه‌ای توپ پالسی
R	تابع اتفاف رایلی
τ_t	بردار نیروها
τ_r	مومنتوهای کلی
V	بردار سرعت محوری مرکز جرم مخزن
ϵ	ضریب دمپینگ توپ پالسی
a_y و a_x	مولفه‌های شتاب مرکز جرم مخزن
F	نیروی تراست موتور اصلی

مقدمه

رسیدن به مدار مأموریتی در بسیاری از ماهواره‌ها مستلزم انجام مانور مداری است. این موضوع به دلیل کاربرد گسترده ماهواره‌ها در

۱. دانشیار (نویسنده مخاطب)
۲. دانشجوی کارشناسی ارشد

است. برای به کار گیری کنترلر کلاسیک معادلات سیستم باید خطی شوند. بنابراین، با استفاده از یک تقریب مناسب حول نقطه تعادل پارامترهای سیستم توپ پالسی و فضایپیما، معادلات دینامیکی خطی شده و براساس معادلات خطی شده به طراحی کنترلر کلاسیک پرداخته شده است. همان طور که در شکل ۱ می‌توان مشاهده کرد، ورودی‌های کنترلر طراحی شده که در واقع متغیرهایی هستند که بهوسیله آن‌ها تلاطم و وضعیت فضایپیما کنترل می‌شوند، انحراف زاویه گیمیال و ممان حول مرکز جرم فضایپیما می‌باشند. برای بررسی عملکرد مدل توپ پالسی یک مثال فیزیکی شبیه‌سازی شده و نتایج آن مورد مطالعه قرار گرفته است.



شکل ۱- مدل فضایپیما همراه با مخزن

مدل‌سازی و معادلات دینامیکی

برای بررسی تعامل بین دینامیک تلاطم سوخت و دینامیک فضایپیما مطالعاتی صورت گرفته است. در این مطالعات از مدل‌های مکانیکی مانند پاندول و یا جرم و فنر و همچنین توپ پالسی استفاده شده است که نشان می‌دهند به خوبی می‌توانند دینامیک پیچیده تلاطم سوخت را مدل کنند. بررسی‌های انجام شده نشان می‌دهند که مدل توپ پالسی که اخیراً برای بررسی دینامیک تلاطم سوخت استفاده شده است، در حالت حرکت در صفحه فضایپیما در یک مانور مداری به خوبی می‌تواند رفتار سیال متاباطم را شبیه‌سازی کند. لذا در این بخش برای اولین بار مدل‌سازی توپ پالسی برای تلاطم سوخت در حرکت صفحه‌ای ارائه و سپس معادلات دینامیکی آن با استفاده از معادلات لاگرانژ استخراج می‌شود.

حال مطلوب خارج کند. بنابراین تلاطم سوخت یکی از مسائل بسیار مهم کنترل وضعیت فضایپیما در حین انجام مانور مداری است که در چند دهه اخیر مورد بحث و مطالعه قرار گرفته است [۹ و ۱۰]. در مطالعات انجام‌شده در این زمینه نشان داده شده است که مدل‌های مکانیکی پاندول [۱۱ و ۱۲]، جرم-فنر [۱۳] و توپ پالسی [۱۴ و ۱۵] به خوبی می‌توانند دینامیک پیچیده تلاطم را تقریب بزنند. برخی از این مطالعات کل جرم سوخت را متاباطم و برخی دیگر قسمتی از سوخت که به مخزن چسبیده که همراه آن حرکت می‌کند را غیرمتلاطم و قسمتی دیگر را متلاطم در نظر گرفته‌اند. در این مطالعات برای بررسی اولین مود تلاطم از مدل تک پاندول، تک جرم-فنر و یا یک توپ پالسی استفاده شده است. بدین صورت که جرم غیرمتلاطم بهوسیله یک جرم صلب که به مخزن چسبیده و همراه آن در حرکت می‌کند، مدل شده است. همچنین برای بررسی تعداد مودهای بیشتر از مدل چند پاندول [۱۶] یا چند جرم-فنر [۱۷] استفاده شده است.

در این مقاله برای اولین بار به مدل‌سازی تلاطم سوخت با استفاده از مدل توپ پالسی در صفحه پرداخته شده است و علاوه بر آن برای اولین بار کنترل تلاطم سوخت و کنترل وضعیت فضایپیما با استفاده از مدل مکانیکی توپ پالسی به طور همزمان انجام شده است. در این مقاله فضایپیمایی در حین انجام مانور مداری در صفحه و دارای یک مخزن کروی سوخت، در نظر گرفته شده است. تنها بخشی از مخزن پر بوده و سوخت موجود در آن چهار تلاطم شده است. همچنین در این جا بخشی از سوخت متاباطم و بخشی دیگر غیرمتلاطم در نظر گرفته شده است. برای مدل‌سازی قسمت متاباطم سوخت از مدل توپ پالسی در صفحه و برای مدل‌سازی قسمت غیرمتلاطم از یک جسم صلب کروی که در مرکز جرم سوخت غیرمتلاطم قرار داشته و همراه با مخزن حرکت می‌کند، استفاده شده است. حرکت فضایپیما در صفحه و دارای سه درجه آزادی می‌باشد. همچنین، توپ پالسی دارای یک درجه آزادی می‌باشد. بنابراین در مجموع سیستم فضایپیما و توپ پالسی معرفی شده دارای چهار درجه آزادی می‌باشند. پس از مشخص شدن مدل‌سازی، معادلات دینامیک ترکیب شده فضایپیما و توپ پالسی با استفاده از معادلات کرشهف^۳ [۱۹] استخراج شده است. سپس به بخش دوم کنترل وضعیت یعنی طراحی کنترلر خواهیم پرداخت. معادلات دینامیکی به دست آمده، معادلات غیرخطی هستند و برای رسیدن به اهداف کنترلی با استفاده از کنترلرهای خطی بهتر است از معادلات دینامیکی خطی شده استفاده کرد. سپس کنترلر کلاسیک برای کنترل همزمان وضعیت فضایپیما و توپ پالسی طراحی شده

3. Pulsating ball
4. Kirchhoff

$$\frac{d}{dt} \left(\frac{\partial L}{\partial V} \right) + \hat{\Omega} \times \frac{\partial L}{\partial V} = \tau_t \quad (1)$$

$$\frac{d}{dt} \left(\frac{\partial L}{\partial \Omega} \right) + \hat{\Omega} \times \frac{\partial L}{\partial \Omega} + \hat{V} \times \frac{\partial L}{\partial V} = \tau_r \quad (2)$$

$$\frac{d}{dt} \left(\frac{\partial L}{\partial \zeta} \right) - \frac{\partial L}{\partial \zeta} + \frac{\partial R}{\partial \zeta} = 0 \quad (3)$$

در این معادلات L لاگرانژین است و به دلیل این فرض که فضایپیما در حال انجام مانور در محیط بدون گرانش است، داریم:

$$L = T - U, U = 0 \Rightarrow L = T \quad (4)$$

در اینجا V_c ، V_0 و V_s به ترتیب بردار سرعت خطی جرم‌های m ، m_s و m_0 می‌باشند.

همچنین I_0 و I_s ممان اینرسی جرم‌های m_0 و m_s و m ممان اینرسی جرم m می‌باشد. علاوه بر این، ω_s بردار سرعت زاویه‌ای توب پالسی و Ω بردار سرعت زاویه‌ای فضایپیما می‌باشد. برای بردار دلخواه b ، \hat{b} ماتریس پادمتقارن است.

$$b = \begin{bmatrix} b_1 \\ b_2 \\ b_3 \end{bmatrix} \Rightarrow \hat{b} = \begin{bmatrix} 0 & b_3 & b_2 \\ -b_3 & 0 & -b_1 \\ -b_2 & b_1 & 0 \end{bmatrix}$$

در اینجا با توجه به حرکت توب پالسی در صفحه داریم:

$$\omega_s = \begin{bmatrix} \dot{\varphi} \\ 0 \\ 0 \end{bmatrix}, \quad \Omega = \begin{bmatrix} \Omega_1 \\ \Omega_2 \\ 0 \end{bmatrix} \quad (5)$$

بردارهای سرعت خطی نیز به صورت زیر خواهند بود:

$$V_c = \dot{r}_c + \hat{\Omega} \times r_c = \begin{bmatrix} \dot{x} \\ 0 \\ \dot{z} \end{bmatrix} + \hat{\Omega} \times \begin{bmatrix} x - a \\ 0 \\ z \end{bmatrix} \quad (6)$$

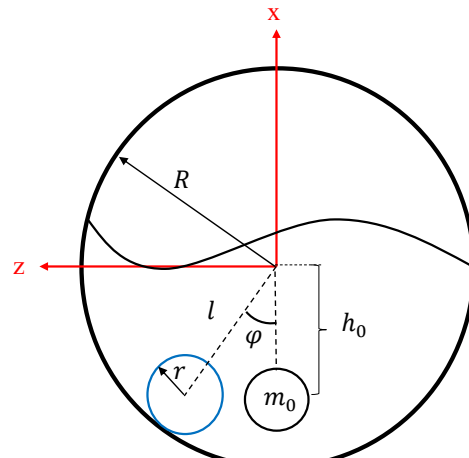
$$V_0 = \dot{r}_0 + \hat{\Omega} \times r_0 = \begin{bmatrix} \dot{x} \\ 0 \\ \dot{z} \end{bmatrix} + \hat{\Omega} \times \begin{bmatrix} x - h_0 \\ 0 \\ z \end{bmatrix} \quad (7)$$

$$V_s = \dot{r}_s + \hat{\Omega} \times r_s = \begin{bmatrix} \dot{x} + l\varphi \sin\varphi \\ 0 \\ \dot{z} + l\varphi \cos\varphi \end{bmatrix} + \hat{\Omega} \times \begin{bmatrix} x - l\cos\varphi \\ 0 \\ z + l\sin\varphi \end{bmatrix} \quad (8)$$

در معادلات (۱) و (۲)، τ_t و τ_r به ترتیب بردار نیروی کل و گشتاور کل هستند که بر مرکز جرم فضایپیما اعمال می‌شوند و V بردار سرعت خطی مرکز جرم فضایپیما می‌باشد.

$$\begin{aligned} \tau_t &= \begin{bmatrix} F \cos\delta \\ 0 \\ F \sin\delta \end{bmatrix}, \quad \tau_r = \begin{bmatrix} 0 \\ M + F(a + c)\sin\delta \\ 0 \end{bmatrix} \\ \begin{bmatrix} V_x \\ 0 \\ V_z \end{bmatrix} &= \begin{bmatrix} \dot{x} \\ 0 \\ \dot{z} \end{bmatrix} + \hat{\Omega} \times \begin{bmatrix} x \\ 0 \\ z \end{bmatrix} \quad (9) \\ \Omega_2 &= \dot{\theta} \end{aligned}$$

همانطور که در شکل ۱ می‌توان مشاهده کرد، فضایپیمایی را در نظر بگیرید که در حال انجام مانور در صفحه است. این فضایپیما دارای یک مخزن کروی است که تنها بخشی از آن پر از سوت است. همچنین این فضایپیما دارای سه درجه آزادی می‌باشد و میزان انحراف آن از محور ثابت در امتداد محور طولی فضایپیما با θ نشان داده می‌شود. در اینجا فرض شده است که کل جرم نقطه‌ای (m) در مرکز جرم فضایپیما قرار دارد. فاصله این نقطه تا مفصل گیمبال با c و تا مرکز جرم مخزن با a نشان داده می‌شود.



شکل ۲- مدل توب پالسی

در این مقاله سوت موجود در مخزن به دو قسمت متلاطم و غیر متلاطم تقسیم بندی شده است. همان طور که در شکل ۲ می‌توان مشاهده کرد، جرم غیرمتلاطم سوت توسط یک جسم صلب کروی (m_0) که همراه با مخزن و فضایپیما حرکت کرده و در مرکز جرم سوت غیرمتلاطم قرار دارد، مدل شده است. جرم متلاطم نیز توسط یک توب پالسی (m_s) که همراه با دیواره مخزن کروی در تماس است و توصیف کننده ویژگی‌های مود اول متلاطم سوت می‌باشد و در فاصله l از مرکز هندسی مخزن کروی در حال حرکت روی دیواره مخزن می‌باشد، مدل شده است. این توب پالسی دارای یک درجه آزادی می‌باشد. برای بدست آوردن معادلات دینامیک ترکیب شده فضایپیما و توب پالسی، مرکز مختصات را در مرکز هندسی مخزن قرار می‌دهیم. فاصله مرکز مختصات تا جرم‌های m_0 و m_s با a و h_0 و موقعیت زاویه‌ای توب پالسی نسبت به امتداد محور x که یک زاویه کمتر از 90° درجه است، با زاویه φ نشان داده شده است. معادلات دینامیکی مورد نظر با استفاده از معادلات کرشوف که برای سیستم‌های چندجسمی است، به صورت معادلات (۱) تا (۳) می‌باشند، به دست خواهد آمد [۲۰].

استخراج معادلات کاهش یافته برای طراحی کنترلر

در این بخش به طراحی کنترلر برای کنترل همزمان وضعیت فضاییما و تلاطم سوت خواهیم پرداخت. فرض می‌کنیم ورودی‌های کنترل صفر باشند و نیروی تراست موتور اصلی ثابت و برابر F باشد، آنگاه یک رابطه تعادل نسبی به صورت زیر برقرار خواهد بود:

$$V_z = \bar{V}_z, \theta = \bar{\theta}, \Omega_2 = 0, \zeta = \omega_s = 0 \quad (19)$$

در اینجا \bar{V}_z و $\bar{\theta}$ مقادیر ثابت و دلخواه هستند که در اینجا صفر درنظر گرفته شده‌اند.

با این فرض دومین معادله از معادلات دینامیکی برای حالت خطی و غیرخطی به صورت زیر بدست می‌آید:

$$a_x = \frac{F}{m+m_0+m_s} \quad (20)$$

$$\dot{V}_x = \frac{F}{m+m_0+m_s} \quad (21)$$

با تبدیل ورودی‌های کنترل (M و δ) به ورودی‌های جدید (u_2 و u_1) سایر معادلات غیرخطی به صورت زیر به فرم کاهش یافته نوشته می‌شوند:

$$\dot{V}_z = u_1 + \Omega_2 V_x \quad (22)$$

$$\dot{\Omega}_2 = u_2 \quad (23)$$

$$\ddot{\varphi} = \left(\frac{-1}{m_s l^2 + I_s} \right) (m_s l (\dot{V}_x + \Omega_2 V_z) \sin \varphi + m_s l (\dot{V}_z + \Omega_2 V_x) \cos \varphi + \epsilon \dot{\varphi}) - \dot{\Omega}_2 \quad (24)$$

همچنین با تبدیل ورودی‌های جدید و برای حالت خطی به فرم کاهش یافته داریم:

$$\dot{V}_z = u_1 + \Omega_2 V_x \quad (25)$$

$$\dot{\Omega}_2 = u_2 \quad (26)$$

$$\ddot{\varphi} = \left(\frac{-1}{m_s l^2 + I_s} \right) (m_s l \dot{V}_x \varphi + m_s l (\dot{V}_z + \Omega_2 V_x) + \epsilon \dot{\varphi}) - \dot{\Omega}_2 \quad (27)$$

کنترل کلاسیک

در این بخش با توجه به معادلات کاهش یافته خطی، با استفاده از قوانین کنترلی تناسبی (P) و مشتق‌گیر-تناسبی (PD) به طراحی کنترلر برای رسیدن به اهداف کنترلی می‌پردازیم:

$$u_1 = k_{p1} V_z \quad (28)$$

$$u_2 = k_{p2} \theta + k_{d2} \Omega_2 \quad (29)$$

در معادله (۳) نیز ζ بردار وضعیت زاویه‌ای توپ پالسی، R تابع اتلاف رایلی است که برای در نظر گرفتن اتلافات اجزای داخلی در این معادله ظاهر شده‌اند که به صورت زیر تعریف می‌شوند:

$$\zeta = [\varphi] \quad (10)$$

$$R = \frac{1}{2} \epsilon \varphi^2$$

در اینجا ϵ ضریب دمینگ (اصطکاک) توپ پالسی است. با توجه به رابطه لاغرانژین و معادلات (۱) و (۲) که نشان‌دهنده‌ی دینامیک اجزای داخلی سیستم (توپ پالسی) هستند، می‌توان دریافت که دینامیک فضاییما تحت تأثیر دینامیک توپ پالسی می‌باشد و بالعکس. با مشخص شدن پارامترهای استفاده شده در معادلات (۳-۶)، با اعمال این معادلات، معادلات دینامیک ترکیب شده فضاییما و توپ پالسی به صورت زیر به دست خواهند آمد:

$$(m + m_0 + m_s) \dot{V}_x + \Omega_2 V_z (m + m_0 + m_s) + m \Omega_2^2 a + m_0 \Omega_2^2 h_0 + m_s l (\dot{\varphi} + \dot{\Omega}_2) \sin \varphi - m_s l (\dot{\varphi} + \Omega_2)^2 \cos \varphi = F \cos \delta \quad (11)$$

$$(m + m_1 + m_s) \dot{V}_z - \Omega_2 V_x (m + m_0 + m_s) + m \dot{\Omega}_2 a + m_0 \dot{\Omega}_2 h_0 + m_s l (\dot{\varphi} + \dot{\Omega}_2) \cos \varphi - m_s l (\dot{\varphi} + \Omega_2)^2 \sin \varphi = F \sin \delta \quad (12)$$

$$(m_s l^2 + I_s) (\dot{\varphi} + \dot{\Omega}_2) + m_s l (\dot{V}_x - \Omega_2 V_z) \sin \varphi + m_s l (\dot{V}_z + \Omega_2 V_x) \cos \varphi + m \dot{V}_x a + m \dot{\Omega}_2 a^2 + m_0 \dot{V}_x h_0 + m_0 \dot{\Omega}_2 h_0^2 + (I_b + I_0) \dot{\Omega}_2 - V_z (m \Omega_2 a + m_0 \Omega_2 h_0) = M + F(a + c) \sin \delta \quad (13)$$

$$(m_s l^2 + I_s) (\dot{\varphi} + \dot{\Omega}_2) + m_s l (\dot{V}_x + \Omega_2 V_z) \sin \varphi + m_s l (\dot{V}_z + \Omega_2 V_x) \cos \varphi + \epsilon \dot{\varphi} = 0 \quad (14)$$

معادلات دینامیکی بدست آمده غیرخطی هستند و برای اعمال کنترل کلاسیک باید این معادلات خطی‌سازی شوند. بنابراین با فرض تغییرات کوچک حول نقطه تعادل پارامترهای سیستم ($\dot{\varphi}, \varphi, \Omega_2, V_z, \theta$)، معادلات را خطی خواهیم کرد:

$$(m + m_0 + m_s) (\dot{V}_x + \Omega_2 V_z) = F \cos \delta \quad (15)$$

$$(m + m_0 + m_s) (\dot{V}_z - \Omega_2 V_x) + m \dot{\Omega}_2 a + m_0 \dot{\Omega}_2 h_0 + m_s l (\dot{\varphi} + \dot{\Omega}_2) = F \sin \delta \quad (16)$$

$$(m_s l^2 + I_s) (\dot{\varphi} + \dot{\Omega}_2) + m_s l (\dot{V}_z + \Omega_2 V_x) + m \dot{V}_x a + m \dot{\Omega}_2 a^2 + m_0 \dot{V}_x h_0 + m_0 \dot{\Omega}_2 h_0^2 + (I_b + I_0) \dot{\Omega}_2 = M + F(a + c) \sin \delta \quad (17)$$

$$(m_s l^2 + I_s) (\dot{\varphi} + \dot{\Omega}_2) + m_s l \dot{V}_x \varphi + m_s l (\dot{V}_z + \Omega_2 V_x) + \epsilon \dot{\varphi} = 0$$

واحد	مقدار	پارامتر
$\text{kg} \cdot \text{m}^2$	10	I_s
m	0.6	R
m	0.05	h_0
m	0.2	l
$\text{kg} \cdot \text{m}^2/\text{s}$	1.7	ϵ
N	2350	F
m	1.1	c
m	1.5	a
m	0.3	r

جدول ۲ - مقادیر شرایط اولیه

واحد	مقدار	پارامتر
m/s	3000	V_{x0}
m/s	100	V_{z0}
deg	2	θ_0
deg/s	0	Ω_0
deg	30	φ_0
deg/s	0	$\dot{\varphi}_0$

جدول ۳ - پارامترهای کنترلی برای کنترلر کلاسیک

مقدار	ضرایب بهره
1.06×10^{-2}	k_{p1}
9.6×10^{-5}	k_{p2}
1.06×10^{-2}	k_{d2}

شکل های ۳ الی ۶ پاسخ زمانی موقعیت زاویه ای توب پالسی، وضعیت فضایپما، سرعت عمود بر جهت حرکت و سرعت مانور مداری را با و بدون اعمال کنترل نشان می دهند. همان طور که از شکل ها مشخص است موقعیت زاویه ای توب پالسی، وضعیت فضایپما و سرعت عمود بر جهت حرکت در حالتی که کنترلر بر سیستم اعمال می گردد، پس از گذشت حدود ۱۲۰۰ ثانیه به صفر میل می کند.

در روابط بالا k_{p1} ، k_{p2} و k_{d2} بهره های کنترلی می باشند. این ضرایب، با استفاده از روش سعی و خطاب برای رسیدن به بهترین پاسخ کنترلی تعیین می شوند. این مقادیر در جدول ۳ آمده است.

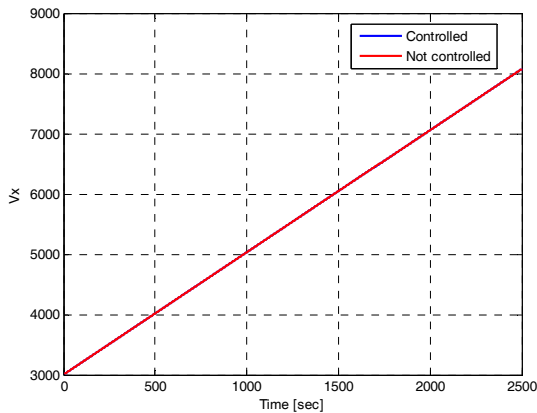
شبیه سازی

در این بخش برای بررسی عملکرد مدل توب پالسی برای تلاطم سوخت، یک مثال فیزیکی شبیه سازی شده است. در این مثال یک فضایپما دارای یک مخزن کروی سوخت در حین انجام مأموریت فضایی مانور مداری در صفحه xz ، در نظر گرفته شده است. فرض شده است که فضایپما در محیط بدون گرانش و تنها بخشی از مخزن آن پر است. برای مدل سازی تلاطم سوخت در این فضایپما از مدل توب پالسی استفاده شده است. پارامترهای فیزیکی سیستم فضایپما و توب پالسی از جدول ۱ و شرایط اولیه از جدول ۲ استخراج می شوند.

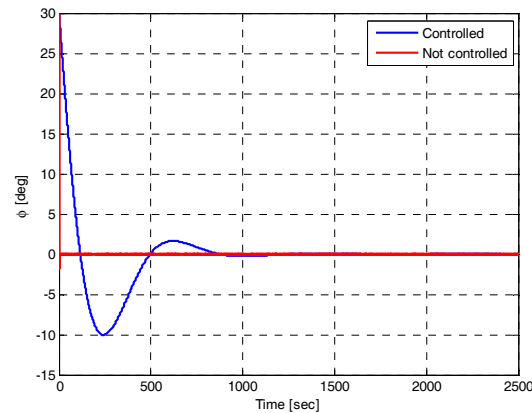
معادلات دینامیکی سیستم درنظر گرفته شده همانند معادلات (۱۱-۱۴) است که البته این معادلات در فرم ساده و خطی شده همانند معادلات (۱۵-۱۸) هستند. برای برطرف کردن اثر مخرب پدیده تلاطم بر روی وضعیت فضایپما از کنترلر کلاسیک طراحی شده در بخش قبل استفاده شده است. برای اعمال کنترلر کلاسیک از پارامترهای کنترلی موجود در جدول ۳ استفاده شده است. پارامترهای موجود در این جدول با استفاده از روش سعی و خطاب برای رسیدن به بهترین نتایج، با توجه به زمان پایداری و اضافه جهش، تعیین شده اند. تعیین این پارامترها بستگی زیادی به ابعاد و پارامترهای فیزیکی فضایپما دارد. با اعمال کنترلر کلاسیک بر روی معادلات خطی کاهش یافته دینامیکی، می توان عملکرد مدل توب پالسی را بر روی بردارهای سرعت و زاویه وضعیت فضایپما و موقعیت زاویه ای وضعیت توب پالسی مشاهده کرد. همچنین با در نظر گرفتن معادلات دینامیکی (۱۱-۱۴ و ۱۵-۱۷)، می توان پاسخ زمانی ممان حول مرکز جرم فضایپما و زاویه انحراف گیمبال را مشاهده کرد.

جدول ۱ - پارامترهای فیزیکی سیستم

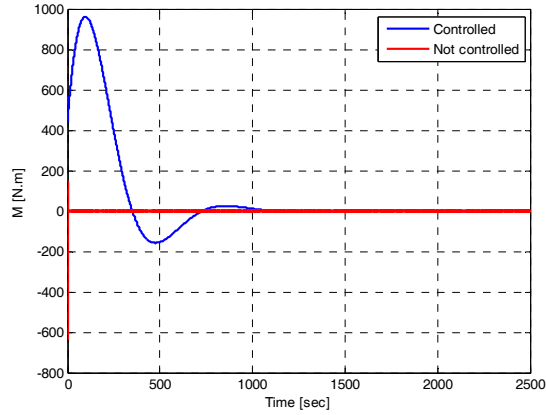
واحد	مقدار	پارامتر
kg	590	m
$\text{kg} \cdot \text{m}^2$	400	I
kg	480	m_0
$\text{kg} \cdot \text{m}^2$	75	I_0
kg	40	m_s



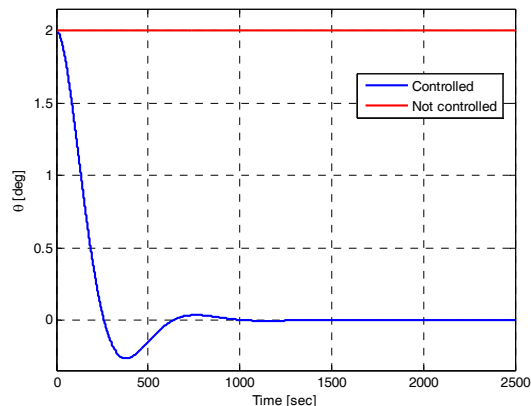
شکل ۶- پاسخ زمانی سرعت مانور



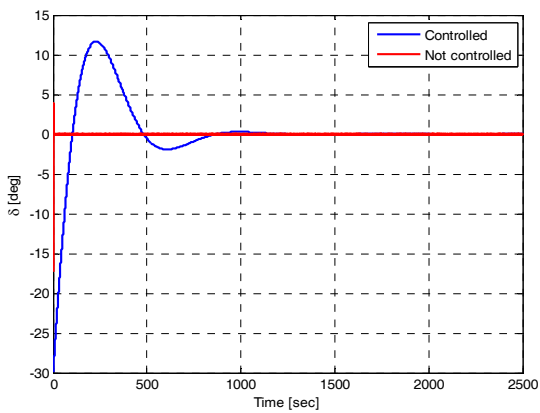
شکل ۳- پاسخ زمانی موقعیت زاویه‌ای توب پالسی



شکل ۷- پاسخ زمانی ممان حول مرکز جرم فضایما

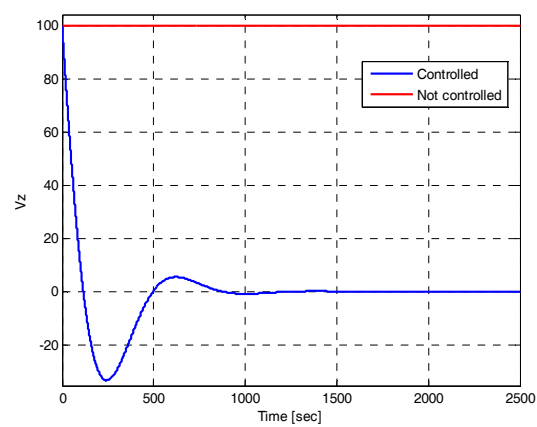


شکل ۴- پاسخ زمانی وضعیت فضایما



شکل ۸- پاسخ زمانی انحراف زاویه گیمبال

شکل‌های ۷ و ۸ نشان می‌دهند که پس از گذشت حدود ۱۲۰۰ ثانیه ممان اعمالی و زاویه گیمبال تراستر در حالت اعمال کنترل به صفر می‌رسند. در این زمان پایداری سیستم حاصل شده است. همان طور که از این شکل‌ها مشخص است، بدون اعمال کنترل ورودی کنترل مقدار صفر خواهد بود.



شکل ۵- پاسخ زمانی سرعت عمود بر جهت حرکت

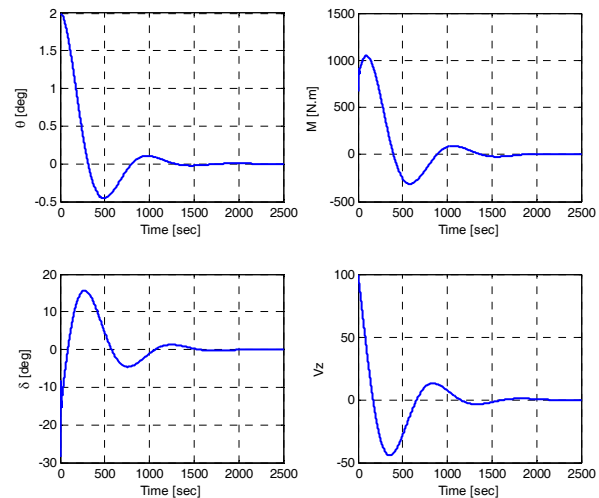
در شکل ۶ با توجه به این که هیچ کنترلی بر روی سرعت در جهت مانور مداری وجود ندارد، هر دو حالت کنترل شده و بدون کنترل بر هم منطبق‌اند.

مخزن حرکت می‌کند، استفاده شده است. سیستم فضایپما و توب پالسی معرفی شده دارای چهار درجه آزادی می‌باشد. پس از مخصوص شدن مدل سازی، معادلات دینامیک ترکیب شده فضایپما و توب پالسی با استفاده از معادلات کرشهف، استخراج شده است. سپس به دلیل غیرخطی بودن معادلات دینامیکی به دست آمده، برای رسیدن به اهداف کنترلی، این معادلات خطی‌سازی شده است. برای کنترل همزمان وضعیت فضایپما و تلاطم سوخت، کنترلر کلاسیک طراحی شده است. برای بررسی عملکرد مدل مکانیکی توب پالسی به عنوان مدل معادل رفتار تلاطم سوخت، یک مثال فیزیکی شبیه‌سازی شده و نتایج آن مورد مطالعه قرار گرفته است. نتایج شبیه‌سازی‌ها نشان می‌دهد که مدل مکانیکی توب پالسی به خوبی می‌تواند تلاطم سوخت موجود در مخزن نیمه‌پر فضایپما را شبیه‌سازی کند. کنترلر کلاسیک طراحی شده نیز برای رسیدن به همه اهداف کنترلی مناسب می‌باشد. با توجه به نتایج، بعد از گذشت حدود ۱۲۰۰ ثانیه فضایپما به حالت پایداری می‌رسد که در این حالت، فضایپما شرایط لازم برای انجام مانور مداری با دقت مطلوب را دارد. مقایسه نتایج حاصل شده در این پژوهش و نتایج بدست آمده از سایر مدل‌های دینامیکی مانند جرم-فرنر یا پاندول، صحت نتایج حاصل شده را تأیید می‌کند و می‌توان برای وسایل متحرک دارای مخزن نیمه‌پر از مدل ارائه شده استفاده کرد.

مراجع

- [1] M. Deng, Y. Baozeng and Y. Jiarui, "Position and Attitude Control of Spacecraft with Large Amplitude Propellant Slosh and Depletion," *Journal of Aerospace Engineering*, Vol. 30, Issue 6, pp. 1-12, 2017
- [2] C. Pukdeboon and P. Kumam, "Robust Optimal Sliding Mode Control for Spacecraft Position and Attitude Maneuvers," *Journal of Aerospace science and Technology*, Vol. 43, pp. 329-342, 2015.
- [3] L. Meirovitch and M.K. Kwak, "State Equation for a Spacecraft with Maneuvering Flexible Appendages in Terms of Quasi-Coordinates," *Applied Mechanics Reviews*, Vol. 42, Issue 11, pp. 161-170, 1989.
- [4] L.D. Peterson, E.F. Crawley and R. J. Hansman, "Nonlinear Fluid Slosh Coupled to the Dynamics of Spacecraft," *AIAA Journal*, Vol. 27, No. 9, pp. 1230-1240, 1989.
- [5] R.J. Hung, Y.T. Long and Y.M. Chi, "SloshDynamics Coupled with Spacecraft Attitude Dynamics Part1: Formulation and Theory," *Journal of Spacecraft and Rockets*, Vol. 33, No. 4, pp. 575-581, 1996.

همان طور که در نتایج نشان داده شده است، در صورتی که کنترل بر سیستم اعمال نشود، با گذشت زمان فضایپما به حالت مطلوب برای انجام مانور مداری تخواهد رسید. در این صورت مقادیر وضعیت فضایپما و سرعت در جهت عمود بر حرکت در مقادیر اولیه خود و بدون تغییر ثابت می‌مانند.



شکل ۹- پاسخ زمانی مدل جرم-فرنر با کنترلر کلاسیک

برای صحبت‌سنجی مدل سازی ارائه شده برای تلاطم سوخت، فرآیند مدل سازی بیان شده به طور کامل برای مدل جرم-فرنر در حالت تقریباً مشابه انجام شده است که نتایج آن در شکل ۹ نشان داده شده است. همان طور که مشاهده می‌شود روند کلی تغییرات وضعیت فضایپما، ورودی‌های کنترل و سرعت عمود بر جهت حرکت در هر دو مدل مشابه یکدیگر می‌باشد. بنابراین بررسی این نتایج و مقایسه آن‌ها با نتایج مدل توب پالسی ارائه شده در این مقاله، نشان‌دهنده صحت مدل سازی و طراحی کنترلر است.

بحث و نتیجه‌گیری

در این مقاله برای اولین بار به مدل سازی تلاطم سوخت با استفاده از مدل مکانیکی توب پالسی در صفحه پرداخته شده است و علاوه بر آن برای اولین بار کنترل تلاطم سوخت و کنترل وضعیت فضایپما با استفاده از مدل مکانیکی توب پالسی به‌طور همزمان انجام شده است. در این مقاله فضایپمایی در حین انجام مانور مداری در صفحه و دارای یک مخزن کروی سوخت، درنظر گرفته شده است. تنها بخشی از مخزن پر بوده و سوخت موجود در آن دچار تلاطم شده است. برای مدل سازی قسمت متلاطم سوخت از مدل توب پالسی در صفحه و برای مدل سازی قسمت غیرمتلاطم از یک جسم صلب کروی که در مرکز جرم سوخت غیر متلاطم قرار داشته و همراه با

- [14] M. Reyhanoglu, "Maneuvering Control Problem for a Spacecraft with Unactuated Fuel Slosh Dynamics," *IEEE Conference on Control Applications*, pp. 695-699, 2003
- [15] M.L. Deng, and B. Z. Yue, "Nonlinear model and attitude dynamics of flexible spacecraft with large amplitude slosh," *Acta Astronaut.*, pp. 111-120, 2017.
- [16] J. P. B. Vreeburg, "Dynamics and control of a spacecraft with a moving, pulsating ball in a spherical cavity," *Acta Astronaut.* Vol. 40, No. 2-8, 257-274, 1997.
- [17] M. Reyhanoglu, and J.R. Hervas, "Nonlinear Control of a Spacecraft with Multiple Fuel Slosh Modes," *Conference on Decision and Control and European Control Conference*, pp. 6192-6197, 2011
- [18] J.R. Hervas, and M. Reyhanoglu, "Observer-Based Nonlinear Control of Space Vehicles with Multi-Mass Fuel Slosh Dynamics," *IEEE International Symposium on Industrial Electronics*, pp. 178-182, 2014.
- [19] S. Cho, N. H. McClamroch and M. Reyhanoglu, "Dynamics of Multibody Vehicles and Their Formulation as Nonlinear Control Systems," *American Control Conference*, pp. 3908-3912, 2000.
- [20] M. Reyhanoglu, A. Van der Schaft, I. Kolmanovski, and N.H. McClamroch, "Dynamics and Control of a Class of Underactuated Mechanical Systems," *IEEE Transaction on Automatic Control*, Vol. 44, No. 9, pp. 1663-1671, 1999.
- [6] S.R. Vadali, "Variable-Structure Control of Spacecraft Large-Angle Maneuvers," *Journal of Guidance, Control, and Dynamics*, Vol. 9, No. 2, pp. 235-239, 1986.
- [7] H. Shageer, and G. Tao, "Modeling and Adaptive Control of Spacecraft with Fuel Slosh: Overview and Case Studies," *AIAA Guidance, Navigation and Control Conference and Exhibit*, AIAA 2007-6434, pp. 1-19, 2007.
- [8] Sidi, M.J., *Spacecraft Dynamics and Control, a Practical Engineering Approach*, Cambridge University Press, 1997, pp. 291-316.
- [9] D.E. Hill and J.R. Baumgarten, "Control of Spin-Stabilized Spacecraft with Sloshing Fluid Stores," *Journal of Dynamics Systems, Measurement, and Control*, Vol. 114, Issue 4, pp. 1-4, 1992.
- [10] S. Xing Yu and Q. Rui Yun, "Using Sliding Mode Control Method to Suppress Fuel Sloshing of a Liquid-Filled Spacecraft," *27th Chinese Control and Decision Conference*, pp. 1268-1273, 2015.
- [11] B. Bandyopadhyay, P.S. Gandhi, and S. Kurode, "Sliding Mode Observer Based Sliding Mode Controller for Slosh-Free Motion Through PID Scheme," *IEEE Transaction on Industrial Electronics*, Vol. 56, No. 9, pp. 3432-3442, 2009.
- [12] A.G. De Souza and L.C.G De Souza, "Design of Satellite Attitude Control System Considering the Interaction Between Fuel Slosh and Flexible Dynamics," *11th International Conference on Vibration problems*, pp. 1-10, 2013.
- [13] R. A., Ibrahim, *Liquid Sloshing Dynamics, Theory and Applications*, Cambridge University Press, 2005, pp. 296-334.